

# Peatükk 4

Elastsusteooria põhivõrrandid, nende lahendusmeetodid ja lihtsamad ruumilised ülesanded

## *4.1. Elastsusteooria põhivõrrandid*

### 4.1 Elastsusteooria põhivõrrandid

1. *Tasakaalu (diferentsiaal) võrrandid (2.6) (3 võrrandit):*

$$\begin{cases} \frac{\partial \sigma_x}{\partial x} + \frac{\partial \tau_{yx}}{\partial y} + \frac{\partial \tau_{zx}}{\partial z} + X = 0, \\ \frac{\partial \tau_{xy}}{\partial x} + \frac{\partial \sigma_y}{\partial y} + \frac{\partial \tau_{zy}}{\partial z} + Y = 0, \\ \frac{\partial \tau_{xz}}{\partial x} + \frac{\partial \tau_{yz}}{\partial y} + \frac{\partial \sigma_z}{\partial z} + Z = 0. \end{cases} \quad (4.1)$$

2. *Cauchy seosed (3.6) (6 võrrandit):*

$$\begin{cases} \varepsilon_x = \frac{\partial u}{\partial x}, & \varepsilon_y = \frac{\partial v}{\partial y}, & \varepsilon_z = \frac{\partial w}{\partial z}, \\ \gamma_{xy} = \frac{\partial u}{\partial y} + \frac{\partial v}{\partial x}, & \gamma_{yz} = \frac{\partial v}{\partial z} + \frac{\partial w}{\partial y}, & \gamma_{xz} = \frac{\partial u}{\partial z} + \frac{\partial w}{\partial x}. \end{cases} \quad (4.2)$$

3. Üldistatud Hooke'i seadus (6 võrrandit) nn. otsesel kujul (3.22) :

$$\begin{cases} \varepsilon_x = \frac{1}{E} [\sigma_x - \nu(\sigma_y + \sigma_z)], & \gamma_{xy} = \frac{1}{G} \tau_{xy}, \\ \varepsilon_y = \frac{1}{E} [\sigma_y - \nu(\sigma_z + \sigma_x)], & \gamma_{yz} = \frac{1}{G} \tau_{yz}, \\ \varepsilon_z = \frac{1}{E} [\sigma_z - \nu(\sigma_x + \sigma_y)], & \gamma_{zx} = \frac{1}{G} \tau_{zx} \end{cases} \quad (4.3)$$

või nn. pöördkujul (3.30)

$$\begin{cases} \sigma_x = \lambda\theta + 2\mu\varepsilon_x, & \tau_{xy} = \mu\gamma_{xy}, \\ \sigma_y = \lambda\theta + 2\mu\varepsilon_y, & \tau_{yz} = \mu\gamma_{yz}, \\ \sigma_z = \lambda\theta + 2\mu\varepsilon_z, & \tau_{zx} = \mu\gamma_{zx}. \end{cases} \quad (4.4)$$

Võrrandeid kokku 15.

Tundmatud kokku 15: 6 pingetensori komponenti + 6 deformatsioonitensori komponenti + 3 siirdevektori komponenti.

#### *4.1. Elastsusteooria põhiõrrandid*

Rajatingimused ehk ääretutingimused ehk servatingimused võivad olla kolme põhitüüpi.

1. Keha välispinnal on antud pindjoud (2.14):

$$\begin{cases} p_{\nu x} = \sigma_x l + \tau_{yx} m + \tau_{zx} n, \\ p_{\nu y} = \tau_{xy} l + \sigma_y m + \tau_{yz} n, \\ p_{\nu z} = \tau_{xz} l + \tau_{yz} m + \sigma_z n. \end{cases} \quad (4.5)$$

2. Keha välispinnal on antud siirded. Põhimõtteliselt tähendab see seda, et on antud keha välispinna likumisseadus.
3. Osal keha pinnast on antud siirded ja osal pindjoud.

Võib esineda veelgi komplitseeritud juhte, kus mingil osal keha pinnast on antud näiteks üks kolmest siirdekomponeendist ja kaks pindjou komponenti.

### Pidevustingimused.

Kui põhimuutujateks on valitud deformatsioonid või pinged, siis on tarvis arvestada ka pidevustingimusi (3.18):

$$\left\{ \begin{array}{l} \frac{\partial^2 \varepsilon_x}{\partial y^2} + \frac{\partial^2 \varepsilon_y}{\partial x^2} = \frac{\partial^2 \gamma_{xy}}{\partial x \partial y}, \\ \frac{\partial^2 \varepsilon_y}{\partial z^2} + \frac{\partial^2 \varepsilon_z}{\partial y^2} = \frac{\partial^2 \gamma_{yz}}{\partial y \partial z}, \\ \frac{\partial^2 \varepsilon_z}{\partial x^2} + \frac{\partial^2 \varepsilon_x}{\partial z^2} = \frac{\partial^2 \gamma_{xz}}{\partial x \partial z}, \\ \frac{\partial}{\partial x} \left( \frac{\partial \gamma_{xz}}{\partial y} + \frac{\partial \gamma_{xy}}{\partial z} - \frac{\partial \gamma_{yz}}{\partial x} \right) = 2 \frac{\partial^2 \varepsilon_x}{\partial y \partial z}, \\ \frac{\partial}{\partial y} \left( \frac{\partial \gamma_{xy}}{\partial z} + \frac{\partial \gamma_{yz}}{\partial x} - \frac{\partial \gamma_{xz}}{\partial y} \right) = 2 \frac{\partial^2 \varepsilon_y}{\partial x \partial z}, \\ \frac{\partial}{\partial z} \left( \frac{\partial \gamma_{yz}}{\partial x} + \frac{\partial \gamma_{xz}}{\partial y} - \frac{\partial \gamma_{xy}}{\partial z} \right) = 2 \frac{\partial^2 \varepsilon_z}{\partial x \partial y}. \end{array} \right. \quad (4.6)$$

### 4.2 Elastsusteooria ülesannete lahendusmeetodid

Elastsusteooria põhiõrrandeid võib lahendada mitmel erineval noel, sõltuvalt sellest millised suurused on valitud põhimuutujateks.

1. *Lahendamine siiretes* — tundmatuteks on valitud sirdevektori komponendid  $u(x, y, z)$ ,  $v(x, y, z)$  ja  $w(x, y, z)$ .
2. *Lahendamine pingetes* — tundmatuteks on valitud pingetensori komponendid  $\sigma_x(x, y, z), \dots, \tau_{xy}(x, y, z), \dots$
3. *Lahendamine deformatsioonides* — tundmatuteks on valitud deformatsioonitensori komponendid  $\varepsilon_x(x, y, z), \dots, \gamma_{xy}(x, y, z), \dots$
4. *Mn. segalahendi leidmine* — eelmise kolme kombinatsioonid.

Järgmises alajaotuses vaatleme kahte esimest juhtu.

**Teoreem:** Kui keha olek on üheselt määratud ja kehtib jõudude mõju sõltumatuse printsipi, siis omab elastsusteooria ülesanne ühest lahendit.

## 4.2.1 Elastsusteooria ülesannete lahendamine siiretes

Otsitavad: sirdekomponendid  $u(x, y, z)$ ,  $v(x, y, z)$  ja  $w(x, y, z)$ .

1. Tasakaaluvoõrandites (4.1) olevad pingetensori komponendid asendatakse üldistatud Hooke'i seduse (4.4) abil deformatsioonitensori komponentidega. Võrandist (4.1)<sub>1</sub> saame

$$\lambda \frac{\partial \theta}{\partial x} + 2\mu \frac{\partial \varepsilon_x}{\partial x} + \mu \frac{\partial \gamma_{xy}}{\partial y} + \mu \frac{\partial \gamma_{xz}}{\partial z} + X = 0. \quad (4.7)$$

2. Kasutades Cauchy seoseid (4.2) saame

$$\lambda \frac{\partial \theta}{\partial x} + \mu \underbrace{\left( \frac{\partial^2 u}{\partial x^2} + \frac{\partial^2 u}{\partial y^2} + \frac{\partial^2 u}{\partial z^2} \right)}_{= \nabla^2 u} + \mu \underbrace{\left( \frac{\partial^2 u}{\partial x^2} + \frac{\partial^2 v}{\partial x \partial y} + \frac{\partial^2 w}{\partial x \partial z} \right)}_{= \frac{\partial}{\partial x} \left( \frac{\partial u}{\partial x} + \frac{\partial v}{\partial y} + \frac{\partial w}{\partial z} \right) = \frac{\partial \theta}{\partial x}} + X = 0, \quad (4.8)$$

kus  $\nabla^2$  on *Laplace'i operaator*. Kokku saime võrandi

$$(\lambda + \mu) \frac{\partial \theta}{\partial x} + \mu \nabla^2 u + X = 0. \quad (4.9)$$

### 4.2. Elastsusteooria ülesannete lahendusmeetodid

3. Korrates sama protseduuri viimasele kahelle võranditest (4.1) saame *Lamé' vörrandid*:

$$\begin{cases} (\lambda + \mu) \frac{\partial \theta}{\partial x} + \mu \nabla^2 u + X = 0, \\ (\lambda + \mu) \frac{\partial \theta}{\partial y} + \mu \nabla^2 v + Y = 0, \\ (\lambda + \mu) \frac{\partial \theta}{\partial z} + \mu \nabla^2 w + Z = 0. \end{cases} \quad (4.10)$$

Saadud vörandid ühendavad endas kõik eelpool vaadeldud seosed ja vörrandid, st. nad sisaldavad endas tasakaaluvoõrandeid, Cauchy seoseid ning üldistatud Hooke'i seadust.

4. Rajatingimused (4.5) esitatatkse antud juhul samuti läbi siirete kasutades valemeid (4.4) ja (4.2) (nagu Lamé' vörrandite tuletamisel):

$$\begin{cases} p_{\nu x} = \lambda \theta l + \mu \frac{\partial u}{\partial \nu} + \mu \left( \frac{\partial u}{\partial x} l + \frac{\partial v}{\partial x} m + \frac{\partial w}{\partial x} n \right), \\ p_{\nu y} = \lambda \theta m + \mu \frac{\partial v}{\partial \nu} + \mu \left( \frac{\partial u}{\partial y} l + \frac{\partial v}{\partial y} m + \frac{\partial w}{\partial y} n \right), \\ p_{\nu z} = \lambda \theta n + \mu \frac{\partial w}{\partial \nu} + \mu \left( \frac{\partial u}{\partial z} l + \frac{\partial v}{\partial z} m + \frac{\partial w}{\partial z} n \right), \end{cases} \quad (4.11)$$

kus

$$\frac{\partial u}{\partial \nu} = \frac{\partial u}{\partial x} l + \frac{\partial u}{\partial y} m + \frac{\partial u}{\partial z} n, \quad \frac{\partial v}{\partial \nu} = \dots, \quad \frac{\partial w}{\partial \nu} = \dots \quad (4.12)$$

5. Ülesande edasine lahendamine käib järgmiselt:

- (i) Lamé võrrandid (4.10) integreeritakse rajatingimustel (4.11);
- (ii) Cauchy seostest (4.2) määratatakse deformatsioonitensori komponendid;
- (iii) Üldistatud Hooke'i seadusest (4.4) määratatakse pingetensori komponeedid.

#### *4.2. Elastsusteooria ülesannete lahendusmeetodid*

### 4.2.2 Elastsusteooria ülesande lahendamine pingetes konstantsete mahujõudude korral

Otsitavad: 6 pingetensori komponenti.

- Eldame, et kõik mahujõud on konstantsed igas keha punktis  
 $\Rightarrow \frac{\partial X}{\partial x} = \dots = 0$ .
- Alustame ruumdeformatsiooni  $\theta$  ja pingetensori esimese invariandi  $I_1^\sigma$  omaduse urimisega. Selleks teisendame Lamé võrrandeid (4.10) järgmiselt:

$$\frac{\partial}{\partial x} (4.10)_1 + \frac{\partial}{\partial y} (4.10)_2 + \frac{\partial}{\partial z} (4.10)_3,$$

$\dots$ ,

$$(\lambda + \mu) \underbrace{\left( \frac{\partial^2 \theta}{\partial x^2} + \frac{\partial^2 \theta}{\partial y^2} + \frac{\partial^2 \theta}{\partial z^2} \right)}_{\nabla^2 \theta} + \mu \underbrace{\left( \frac{\partial}{\partial x} \nabla^2 u + \frac{\partial}{\partial y} \nabla^2 v + \frac{\partial}{\partial z} \nabla^2 w \right)}_{\nabla^2 \left( \frac{\partial u}{\partial x} + \frac{\partial v}{\partial y} + \frac{\partial w}{\partial z} \right) = \nabla^2 \theta} = 0,$$

$\dots$ ,

$$(\lambda + 2\mu) \nabla^2 \theta = 0.$$

Viimane on samaväärne võrrandiga

$$\nabla^2 \theta = 0. \quad (4.14)$$

- Funktsiooni, mis rahuulab *Laplace'i võrrandit* (4.14) nimetatakse *harmoniliseks funktsiooniks*.

– Kui rakendada Hooke'i seadust ruumdeformatsioonil (3.24), siis saame võrrandile (4.14) kuju

$$\nabla^2 I_1^\sigma = 0. \quad (4.15)$$

- Kuue tundmatu määramiseks peame antud juhul kasutama tasakaaluvõrrandeid koos pidenvustingimustega (4.6). Need kuus pidenvusvõrrandit tuleb aga väljendada pingetes.

– Asendame Hooke'i seadusest (4.3) deformatsioonintensori komponendid esimesesse pidenvusvõrrandisse (4.6)<sub>1</sub>:

$$\frac{\partial^2 \sigma_x}{\partial y^2} - \nu \left( \frac{\partial^2 \sigma_y}{\partial y^2} + \frac{\partial^2 \sigma_z}{\partial y^2} \right) + \frac{\partial^2 \sigma_y}{\partial x^2} - \nu \left( \frac{\partial^2 \sigma_z}{\partial x^2} + \frac{\partial^2 \sigma_x}{\partial x^2} \right) - 2(1+\nu) \frac{\partial^2 \tau_{xy}}{\partial x \partial y} = 0 \quad (4.16)$$

#### *4.2. Elastsusteooria ülesannete lahendusmeetodid*

– Viimasest ellimineerime nihkepinge  $\tau_{xy}$ . Selleks

$$\begin{aligned} \frac{\partial}{\partial x} (4.1)_1 + \frac{\partial}{\partial y} (4.1)_2 - \frac{\partial}{\partial z} (4.1)_3 \\ \dots \\ - 2 \frac{\partial^2 \tau_{xy}}{\partial x \partial y} = \dots \rightarrow (4.16) \pm \frac{\partial^2 \sigma_x}{\partial z^2}, \pm \frac{\partial^2 \sigma_y}{\partial z^2}, \pm \nabla^2 \sigma_z \dots \xrightarrow{(4.15)} \\ (1 + \nu) \nabla^2 \sigma_z + \frac{\partial^2 I_1^\sigma}{\partial z^2} = 0. \end{aligned}$$

- Kokku saame analoogiliselt toimides kuus võrrandit, mis on tuntud *Beltrami-Michell'i võrranditeina* ning mis väljendavad pidenvustingimusi pingetes (juhul kui mahujõud on konstantsed) —

$$\begin{cases} (1 + \nu) \nabla^2 \sigma_x + \frac{\partial^2 I_1^\sigma}{\partial x^2} = 0, & (1 + \nu) \nabla^2 \tau_{xy} + \frac{\partial^2 I_1^\sigma}{\partial x \partial y} = 0, \\ (1 + \nu) \nabla^2 \sigma_y + \frac{\partial^2 I_1^\sigma}{\partial y^2} = 0, & (1 + \nu) \nabla^2 \tau_{yz} + \frac{\partial^2 I_1^\sigma}{\partial y \partial z} = 0, \\ (1 + \nu) \nabla^2 \sigma_z + \frac{\partial^2 I_1^\sigma}{\partial z^2} = 0, & (1 + \nu) \nabla^2 \tau_{xz} + \frac{\partial^2 I_1^\sigma}{\partial x \partial z} = 0. \end{cases} \quad (4.17)$$

## Kokkuvõte.

Antud juhul, st., elastsusteooria ülesande lahendamisel pingetes tuleb:

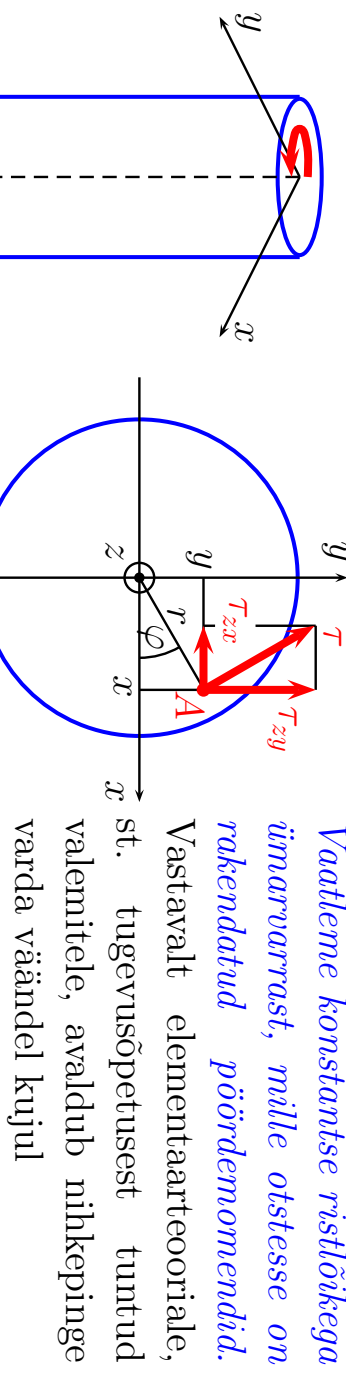
- (i) lahendada tasakaaluvõrandid (4.1) koos pingetes esitatud pidenvustingimustega (4.17) ja rajatingimustega (4.5);
- (ii) määrata üldistatud Hooke'i seadusest (4.3) deformatsioonitensori komponendid;
- (iii) määrata Cauchy seostest (4.2) sõrdevektori komponendid.

### *4.3. Lihtsamad ruumilised ülesanded*

4 - 14

Käesolevas alajaotuses *vaatleme mõningate lihtsamate elastsusteooria ülesannete lahendamist pingetes.*

- Vaadeldavate ülesannete *lihtsus* seisneb eeskätt selles, et *pingekomponendid on konstantsed või lineaarfunktsionid koordinaatides  $(x, y, z)$ .*
  - Sellisel juhul on Beltrami-Michelli võrandid (4.17), st. pidenvusvõrandid pingetes, automaatset rahuldatud.
  - *Vaatleme elementaarteooriast*, st. tugevusõpetusest (tehnilisest mehaanikast), *tuntud lahendeid ja näitame, et nad rahuldavad elastsusteooria tasakaaluvõrandeid (4.1) ja rajatingimusi (4.5).*
  - Leimeame keha punktide siirded läbi üldistatud Hooke'i seaduse (4.3) ja Cauchy seoste (4.2). Elementaarteoorias piirutatakse peaasjalikult vaid varada telje siirete määramisega.



$$\tau = G\vartheta r, \quad (4.18)$$

kus  $G$  on nihkeelastusmoodul,  $r$  – polaarradius ja  $\vartheta$  – väändenurk varda pikkusühiku eeldusi: (i) ristlõiked jäavad tasapinnalisteks; (ii) ristlõigete vahekaugus ei muutu; (iii) ristlõige  $z = \text{const.}$  pöördub nurga  $\vartheta_z = \vartheta z$  vörra; (iv) raadiused jäavad sirgeteks; (v) varda läbimõõt ei muutu; (vi) mahujõud on hüljatud.

#### 4.3.1 Konstantse ristlõikega ümarvarraste vääne

Lahutame nüüd pingevectori  $\boldsymbol{\tau}$   $x$ - ja  $y$ -telje sihiliseks komponendiks:

$$\tau_{yz} = \tau_{zy} = \underbrace{G\vartheta r}_{=\tau} \frac{x}{r} = G\vartheta x, \quad \tau_{xz} = \tau_{zx} = -\underbrace{G\vartheta r}_{=\tau} \frac{y}{r} = -G\vartheta y. \quad (4.19)$$

Viimases avaldises on arvestatud, et  $\cos \varphi = \frac{x}{r}$  ja  $\sin \varphi = \frac{y}{r}$ . Ülejää nud pinged on vastavalt tehtud eeldustele nullid, st.,

$$\sigma_x = \sigma_y = \sigma_z = \tau_{xy} = 0. \quad (4.20)$$

Allpool näitame, et vaadeldav lahend rahuldab lineaarse elastsusteooria põhivõrrandeid.

Kuna pingekomponendid on kas nullid või lineaarfunksioonid koordinaatidest  $x$  ja  $y$ , siis on pidevustingimused pingetes (Beltrami–Michelli võrandid) (4.17) automaatselt rahuldatud:

$$\left\{ \begin{array}{l} (1 + \nu) \nabla^2 \sigma_x + \frac{\partial^2 I_1^\sigma}{\partial x^2} = 0, \quad (1 + \nu) \nabla^2 \tau_{xy} + \frac{\partial^2 I_1^\sigma}{\partial x \partial y} = 0, \\ \dots, \quad \dots, \\ \dots, \quad \dots. \end{array} \right.$$

Tasakaaluvõrandid (4.1) on rahuldatud kuna mahujõudud on hüljatud:

$$\begin{cases} \frac{\partial \sigma_x}{\partial x} + \frac{\partial \tau_{yx}}{\partial y} + \frac{\partial \tau_{zx}}{\partial z} + X = 0, \\ \frac{\partial \tau_{xy}}{\partial x} + \frac{\partial \sigma_y}{\partial y} + \frac{\partial \tau_{zy}}{\partial z} + Y = 0, \\ \frac{\partial \tau_{xz}}{\partial x} + \frac{\partial \tau_{yz}}{\partial y} + \frac{\partial \sigma_z}{\partial z} + Z = 0. \end{cases}$$

Silindri külgpind on pingevaba. Seega, saavad rajatingimused (4.5) kuju

$$\begin{cases} \sigma_x l + \tau_{yx} m + \tau_{zx} n = 0, \\ \tau_{xy} l + \sigma_y m + \tau_{zy} n = 0, \\ \tau_{xz} l + \tau_{yz} m + \sigma_z n = 0. \end{cases}$$

Külgpinna normaal suunakoosinused

$$l = \cos(\boldsymbol{\nu}, x) = \frac{x}{r}, \quad m = \cos(\boldsymbol{\nu}, y) = \frac{y}{r}, \quad n = \cos(\boldsymbol{\nu}, z) = 0. \quad (4.21)$$

Arvestades viimast, st.  $n = 0$  ja avaldsi (4.20), jäääb jäääb rajatingimustest alles vaid üks võrrand

$$\tau_{xz} l + \tau_{yz} m = 0, \quad (4.22)$$

#### *4.3.1. Konstantse ristlõikega ümarvaraste väine*

mis on rahuldatud ringsilindri puhul, st. tingimustel (4.21)<sub>1,2</sub>.

Sürete leidmine toimub üldistatud Hooke'i seaduse (4.3) ja Cauchy seoste (4.2) abil. Arvestades pingekomponentide väärtsusi:

$$\begin{cases} \varepsilon_x = \frac{\partial u}{\partial x} = \frac{1}{E} [\sigma_x - \nu(\sigma_y + \sigma_z)] = 0, & \gamma_{xy} = \frac{\partial v}{\partial x} + \frac{\partial u}{\partial y} = \frac{1}{G} \tau_{xy} = 0, \\ \varepsilon_y = \frac{\partial v}{\partial y} = \frac{1}{E} [\sigma_y - \nu(\sigma_z + \sigma_x)] = 0, & \gamma_{yz} = \frac{\partial v}{\partial z} + \frac{\partial w}{\partial y} = \frac{1}{G} \tau_{yz} = \vartheta x, \\ \varepsilon_z = \frac{\partial w}{\partial z} = \frac{1}{E} [\sigma_z - \nu(\sigma_x + \sigma_y)] = 0, & \gamma_{zx} = \frac{\partial w}{\partial x} + \frac{\partial u}{\partial z} = \frac{1}{G} \tau_{zx} = -\vartheta y. \end{cases}$$

Rajatingimused antakse punktis  $x = y = z = 0$  kujul  $u = v = w = 0$  ja  $\partial u / \partial z = \partial v / \partial z = \partial w / \partial x = 0$ , st. keelatud on nii pöörded kui sirded. Sellistel rajatingimustel saame

$$u = -\vartheta y z, \quad v = \vartheta x z, \quad w = 0. \quad (4.23)$$

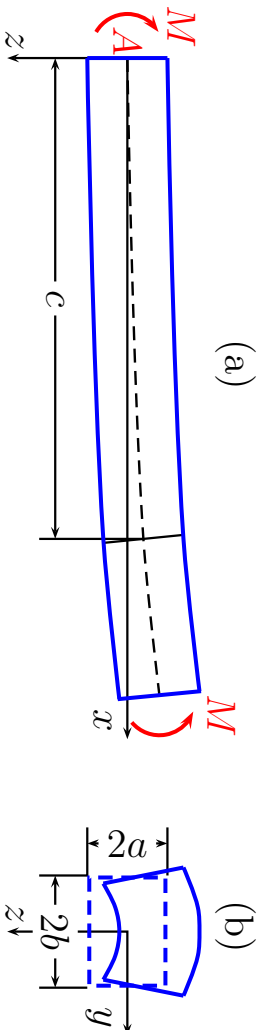
Seega osutub ümarvara puhul elementaarteooria eeldus, et ristlõiked jääävad tasapinnaliseks ja raadiused sirgeteks, õigeks.

## Märkused:

- Kui väliskoormus on varda otsale antud tangentsiaalpingetega kujul (4.18) siis on leitud lahend kehtiv varda suvalise ristlõike jaoks. Kui väliskoormus on aga antud mingil teisel kujul, siis tuleb otspindade läheidal rakendada Saint-Venant'i printsipi.
- Valemite (4.23) tuletamine on üksikasjalikult esitatud õpikus S.P. Timoshenko, J.N. Goodier. Theory of Elasticity. McGraw-Hill, 1970. Venikeelne tõlge: Teoria uprugosti, Mir, Moskva, 1975..
- Õpikus «R. Eek, L. Poverus, Ehitusmehaanika II, Tallinn, 1967» on valedeldav ülesanne lahendatud siretes. Lõpuks näidatakse, saadud lahend sisaldab elementaarteooriast pärit valemit (4.18).
- On selge, et mitteümarvarda puhul elementaarteoria lahend ei sobi, sest normaal pole enam antud avaldistega (4.21). Järelikult sel juhul (4.22) ei kehti varda külgpinnal.

### 4.3.2 Prismaatiliste varraste puhas paine

4 - 20



Joonis 4.2: Prismaatilise varda paine.

Vaatleme prismaatilist varrast, mis paindub peatasandis  $xz$  varda otstesse rakendatud vastassuunaliste ja suuruselt võrdsete momentide  $M$  toimel, mahu joud on hüljatud (vt. joonis 4.2 (a)). Koordinaatide alguse paneme varda vasakusse otsa ristlõike pinnakeskmesse. Elementaarteoria põhjal

$$\sigma_x = \frac{Ez}{R}, \quad \sigma_y = \sigma_z = \tau_{xy} = \tau_{xz} = \tau_{yz} = 0, \quad (4.24)$$

kus  $R$  on painutatud varda kõverusraadius. Lahend (4.24) rahuldab ma-hujoudude piudumisel tasakaaluvoorrandeid (4.1) ja rajatingimusi (4.5) varda külgpinnal.

Otspindadel on lahend täpne kui väiskoormus jaotub vastavalt avaldisele (4.24). Paindemoment määräatakse valemiga

$$M = \int_A \sigma_x z dA = \int_A \frac{Ez^2 dA}{R} = \frac{EI_y}{R}. \quad (4.25)$$

Viimasest avaldiisest saame leida varda telje kõveruse

$$\frac{1}{R} = \frac{M}{EI_y}. \quad (4.26)$$

Sürete leidmiseks kasutame Hooke'i seadust (4.3) ja Cauchy seoseid (4.2) (antud juhul on tala teljeks  $x$ -telg<sup>1</sup>)

$$\begin{cases} \varepsilon_x = \frac{\partial u}{\partial x} = \frac{z}{R}, & \varepsilon_y = \frac{\partial v}{\partial y} = -\frac{\nu z}{R}, & \varepsilon_z = \frac{\partial w}{\partial z} = -\frac{\nu z}{R}, \\ \gamma_{xy} = \frac{\partial u}{\partial y} + \frac{\partial v}{\partial x} = 0, & \gamma_{xz} = \frac{\partial u}{\partial z} + \frac{\partial w}{\partial x} = 0, & \gamma_{yz} = \frac{\partial v}{\partial z} + \frac{\partial w}{\partial y} = 0. \end{cases} \quad (4.27)$$

#### *4.3.2. Prismaatiliste varraste puhas paine*

Lahendame diferentsiaalvõrrandite süsteem (4.27) samadel rajatingimustel, mis alajaotuses 4.3.1, st. punktis A on keelatud nii siirded kui pöörded ehk  $u = v = w = 0$  ja  $\partial w / \partial x = \partial v / \partial x = \partial v / \partial z = 0$  kui  $x = y = z = 0$ . Päraast mõningaid teisendusi saame<sup>1</sup>

$$u = \frac{xz}{R}, \quad v = -\frac{\nu yz}{R}, \quad w = -\frac{1}{2R}[x^2 + \nu(z^2 - y^2)]. \quad (4.28)$$

Võttes viimases avaldises  $y = z = 0$  saame varda kõverdunud telje võrrandi:

$$w = -\frac{x^2}{2R} = -\frac{Mx^2}{2EI_y}, \quad u = v = 0. \quad (4.29)$$

See avaldis langeb kokku elementaarteooria läbipainde avaldiisega.

Vaatleme nüüd varda suvalist ristlõiget  $x = c$  (enne deformatsiooni). Peale deformatsiooni asuvad selle ristloike punktid tasandil

$$x = c + u = c + \frac{cz}{R}, \quad (4.30)$$

st. *puhtal paindel jäädavad ristlõiked tasapinnalisteks.*

<sup>1</sup>Täielikku tuletuskäiku vt. näit. Timoshenko & Goodier'i õpikust. Tösi küll, seal on teljed pisut teisi orienteeritud.

Et uurida ristlõike deformatsioone tema tasandis, vaatleme külgi  $y = \pm b$  (vt. joonis 4.2 (b)). Pärast deformatsiooni

$$y = \pm b + v = \pm b \left( 1 - \frac{\nu z}{R} \right), \quad (4.31)$$

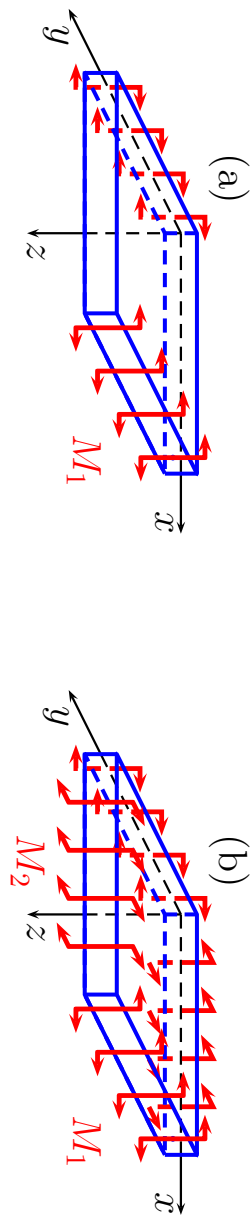
st., *peale deformatsiooni on külged y = ±b kaldu*. Kaks ülejääenud külge  $z = \pm a$  omavad peale deformatsiooni kuju

$$z = \pm a + w = \pm a - \frac{1}{2R} [c^2 + \nu(a^2 - y^2)], \quad (4.32)$$

st. nende kuijuks peale deformatsiooni on parabool. *Seega on tala pealmine ja alumine pind pikisunas nõgas ja ristsumas kumer, st. moodustab sadulpinna.*

#### 4.3.3 Plaadi puhas paine

#### 4.3.3 Plaadi puhas paine



Joonis 4.3: Rustkülikulise plaadi paine

*Eelmises alajaotuses saadud tullemusi saab rakendada konstantse paksusega plaatide paindeülesannete puhul.* Kui pinged  $\sigma_x = Ez/R$  on rakendatud piiki  $y$ -teljega paralleelseid plaadi külgi (vt. joonis 4.3 (a)), siis omab plaadi pind peale deformatsiooni sadulpinna kuju, kusjuures tema kõverus  $xz$  tasapinnas on  $1/R$  ning  $yz$  tasapinnas  $\nu/R$ . Siinjuures eeldatakse, et läbpaineded on võrreldes plaadi paksusega väikesed. Tähistame plaadi paksuse  $h$ , paindemomendi plaadi  $y$ -telje silihise serva pikkusühiku kohta  $M_1$  ja inertsimomendi pikkusühiku kohta  $I_y = h^3/12$ . Nütüd valemi (4.26) põhjal

$$\frac{1}{R} = \frac{M_1}{EI_y} = \frac{12M_1}{Eh^3}. \quad (4.33)$$

Kui pandemomendid  $M_1$  ja  $M_2$  mõjuvad kaheks ristuvas suunas (vt. joonis 4.3 (b)), siis saadakse elastse plaadi pinna kõverus pandemomentidest  $M_1$  ja  $M_2$  põhjustatud kõverustele superpositsioonina.

Tähistame  $1/R_1$  ja  $1/R_2$  plaadi kõverused  $xz$  ja  $yz$  tasandites. Momendid  $M_1$  ja  $M_2$  on endiselt mõõdetud serva pikkusühiku kohta. Kasutades nüüd avaldist (4.33) ja superpositsiooniprintsiipi saame

$$\frac{1}{R_1} = \frac{12}{Eh^3}(M_1 - \nu M_2), \quad \frac{1}{R_2} = \frac{12}{Eh^3}(M_2 - \nu M_1). \quad (4.34)$$

$M_1$  ja  $M_2$  loetakse positiivseteks kui nad põhjustavad positiivsete kiudude tõmmet. (4.34) põhjal

$$M_1 = \frac{Eh^3}{12(1-\nu^2)} \left( \frac{1}{R_1} + \frac{\nu}{R_2} \right), \quad M_2 = \frac{Eh^3}{12(1-\nu^2)} \left( \frac{1}{R_2} + \frac{\nu}{R_1} \right). \quad (4.35)$$

*Väikeste läbipainete* puhul võib kasutada aaproksimatsiooni

$$\frac{1}{R_1} = -\frac{\partial^2 w}{\partial x^2}; \quad \frac{1}{R_2} = -\frac{\partial^2 w}{\partial y^2}. \quad (4.36)$$

#### *4.3.3. Plaadi puhas paine*

---

Tähistades

$$D = \frac{Eh^3}{12(1-\nu^2)} \quad (4.37)$$

ja arvestades (4.36) saame avaldistele (4.35) kuju

$$M_1 = -D \left( \frac{\partial^2 w}{\partial x^2} + \nu \frac{\partial^2 w}{\partial y^2} \right), \quad M_2 = -D \left( \frac{\partial^2 w}{\partial y^2} + \nu \frac{\partial^2 w}{\partial x^2} \right). \quad (4.38)$$

Konstanti  $D$  nimetatakse *plaadi paindejäikuseks*.

Juhul kui plaat paindub silindriliselt (moodustaja on paralleelne  $y$ -teljega), siis  $\partial^2 w / \partial y^2 = 0$  ja (4.38) saab kuju

$$M_1 = -D \frac{\partial^2 w}{\partial x^2}, \quad M_2 = -D\nu \frac{\partial^2 w}{\partial x^2}. \quad (4.39)$$

Kui  $M_1 = M_2 = M$ , siis ka  $1/R_1 = 1/R_2 = 1/R$  ja plaat paindub sfääriliseks pinnaks, nii et (4.35) saab kuju

$$M = \frac{Eh^3}{12(1-\nu)} \frac{1}{R} = \frac{D(1+\nu)}{R}. \quad (4.40)$$

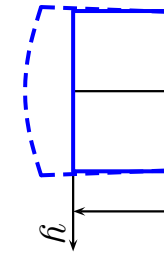
#### 4.3.4 Varda tõmme omakaalu mõjul

Vaatleme ülemisest otsast jälgalt kinnitatud ristkülikulise ristlõikega varrast. *Mahujööd:*

$$X = Y = 0, \quad Z = -\rho g, \quad (4.41)$$

kus  $\rho g$  on varda erikaal. *Pinge:* varda igas ristlõikes on nullist erinev vaid temast allpool asuva osa kaalust põhjustatud normaalpinge:

$$\sigma_z = \rho g z, \quad \sigma_x = \sigma_y = \tau_{xy} = \tau_{yz} = \tau_{xz} = 0. \quad (4.42)$$



Joonis 4.4: Varda deformatsioon omakaalu mõjul.

*Rajatingimused:* Nullist erinevad pinged vaid varda ülemisel väispinnal — seal  $\sigma_z = \rho g l$ . *Tasakaaluvõrandid* (4.1) on sellise pingegaotuse korral rahuldatud. Kuna *pidenvustingimused* pingetes (vt. näiteks Beltrami-Michelli võrandid (4.17)) sisaldavad vaid teist järgku osatuletisi pingekomponentidest, siis on nad antud juhul automaatselt rahuldatud.

#### 4.3.4. Varda tõmme omakaalu mõjul

Siirded ja deformatsioonid määramine Hooke'i seaduse abil

$$\begin{cases} \varepsilon_z = \frac{\partial w}{\partial z} = \frac{\sigma_z}{E} = \frac{\rho g z}{E}, \\ \varepsilon_x = \frac{\partial u}{\partial x} = \varepsilon_y = \frac{\partial v}{\partial y} = -\nu \frac{\rho g z}{E}, \\ \gamma_{xy} = \frac{\partial u}{\partial y} + \frac{\partial v}{\partial x} = 0, \quad \gamma_{xz} = \frac{\partial u}{\partial z} + \frac{\partial w}{\partial x} = 0, \quad \gamma_{yz} = \frac{\partial v}{\partial z} + \frac{\partial w}{\partial y} = 0. \end{cases} \quad (4.43)$$

Siirdekomponendid  $u$ ,  $v$  ja  $w$  leitakse avaldistest (4.43) integreerimise teel. Integreerimiskonstandid määratakse rajatingimustest punktis  $A$ . Jäiga kinnituse tõttu on seal keelatud nii siirded kui pöörded, st., punktis  $x = y = 0$ ,  $z = l$  on  $u = v = w = 0$  ja  $\partial u / \partial z = \partial v / \partial z = \partial w / \partial x = 0$ . Tulemus on järgmine (tuletuskäiku vt. näit. Timoshenko & Goodier):

$$\begin{cases} u = -\frac{\nu \rho g x z}{E}, \quad v = -\frac{\nu \rho g y z}{E}, \\ w = \frac{\rho g z^2}{2E} + \frac{\nu \rho g}{2E} (x^2 + y^2) - \frac{\rho g l^2}{2E} \end{cases} \quad (4.44)$$

On selge, et *z-telje punktid omavad vaid vertikaalseid siirdeid:*

$$w|_{\substack{x=0 \\ y=0}} = -\frac{\rho g}{2E} (l^2 - z^2). \quad (4.45)$$

Teised punktid, st. kus  $x \neq 0$  või  $y \neq 0$ , omavad ka horisontaalseid siirdeid. Seega *singed, mis olid enne deformatsiooni paralleelsed z-teljega on peale deformatsiooni z suhtes kaldu. Tala lõiked, mis olid enne deformatsiooni risti z-teljega, moodustavad pärast deformatsiooni parabolse pinna.* Näiteks punktid, mis olid enne deformatsiooni tasandil  $z = c$  asuvad peale deformatsiooni pinnal  $z = c + w|_{z=c}$ . See pind on risti kõigi nende varda kiududega, mis enne deformatsiooni olid vertikaalsed.

Võttes arvesse seda, kuidas olid esitatud rajatingimused varda ülemises otsas, on saadud lahend täpne Saint Venant'i printsibi mõttes.

#### *4.3.5. Ülesanded*

##### 4.3.5 Ülesanded

**Ülesanne 3. Tala (plaadi) puhas paine.** Tala dimensioonid (joon. 4.2):  $0 \leq x \leq l$ ,  $-b \leq y \leq b$  ja  $-a \leq z \leq a$ . Ostsesse  $x = 0$  ja  $x = l$  on rakendatud momendid  $M$ . Leida (alaajaotuste 4.3.2 ja 4.3.3 põhjal) tala (plaadi) peatasandi  $xz$  ja lõike  $x = l$  deformeerunud kuju järgmistel juhtudel:

1.  $M = 2\text{kNm}$ ;  $l = 0,2\text{m}$ ;  $a = 0,015\text{m}$ ;  $b = 0,025\text{m}$ ;
2.  $M = 10\text{kNm}$ ;  $l = 1\text{m}$ ;  $a = 0,03\text{m}$ ;  $b = 0,05\text{m}$ ;
3.  $M = 10\text{kNm}$ ;  $l = 1\text{m}$ ;  $a = 0,015\text{m}$ ;  $b = 0,5\text{m}$ ;
4.  $M = 10\text{kNm}$ ;  $l = 0,5\text{m}$ ;  $a = 0,015\text{m}$ ;  $b = 0,5\text{m}$ .

Vaadelda kolmest materjalist talasid (plaate):

1. teras:  $E = 210\text{GPa}$ ;  $\nu = 0,3$ ;
2. alumiinium:  $E = 70\text{GPa}$ ;  $\nu = 0,35$ ;
3. vask:  $E = 110\text{GPa}$ ;  $\nu = 0,32$ .

Hinnata maksimaalse vertikaalsirde ja tala paksuse suhet, st. seda kas läbipained on väikesed või ei. Lahendused vt. <http://cens.ioc.ee/~salupere/loko.html>.